

# ·基础研究·

## miR-143 通过抑制 PTN 促进人骨髓间充质干细胞成脂分化 \*

伊 璞<sup>1,2</sup> 谢伟东<sup>2</sup> 吕 青<sup>1,2</sup> 张雅鸥<sup>2△</sup>

(1 清华大学生命科学学院 北京 100084 2 清华大学深圳研究生院生命与健康学部 广东 深圳 518055)

**摘要** 目的 研究 miR-143 调控人骨髓间充质干细胞(hMSCs)成脂分化的新机理。方法 将 NC、miR-143、siPTN、miR-143i 转入 hMSCs 中,诱导成脂分化,检测 miR-143 对成脂分化的影响。经 miRNA 靶点分析软件 Findtar 预测出 miR-143 在人多效生长因子(hPTN)的 3'-UTR 端有靶点。RT-PCR、western blot 研究 miR-143 与 hPTN 的关系。构建 hPTN 3'-UTR 靶位点荧光检测质粒 prltk-PTN 及其突变质粒 prltk-m,验证 miR-143 是否在人 PTN 3'-UTR 上有靶点。结果 miR-143 促进 hMSCs 成脂分化,抑制 hPTN 的 mRNA 和蛋白表达水平。荧光报告实验证实 miR-143 在人 PTN 的 3'-UTR 上有靶点。结论 miR-143 通过与 hPTN 3'-UTR 上的靶点相结合而抑制 hPTN 的表达,从而促进了 hMSCs 成脂分化进程。

**关键词** miR-143 hPTN 成脂分化 hMSCs

中图分类号 Q254, Q291, R34 文献标识码 A 文章编号 :1673-6273(2011)18-3401-04

## miR-143 Accelerates hMSCs Adipogenesis by Suppressing the Expression of PTN\*

YI Can<sup>1,2</sup>, XIE Wei-dong<sup>2</sup>, LV Qing<sup>1,2</sup>, ZHANG Ya-ou<sup>2△</sup>

(1 School of Life Science, Tsinghua University, Beijing 100084, China;

2 Division of Life Science, Graduate School at Shenzhen, Tsinghua University, Shenzhen, 518055, China)

**ABSTRACT Objective:** To investigate the mechanism of miR-143 in the regulation of hMSCs adipogenesis. **Methods:** hMSCs were transfected with NC/miR-143/siPTN/miR-143i and induced into adipogenic differentiation to detect the effect of miR-143 on adipogenesis. The miR-143 target in 3'-UTR of hPTN was predicted by Findtar-software of miRNA. The relationship between miR-143 and hPTN was researched by the methods of RT-PCR and western blot. The target of miR-143 predicted in hPTN 3'-UTR was verified by luciferase expression of prltk-PTN plasmid inserted with hPTN 3'-UTR segment and prltk-m plasmid of mutant target. **Results:** miR-143 promoted adipogenic differentiation of hMSCs, and suppressed the expression level of hPTN mRNA and protein. The experiment of luciferase demonstrated that there was miR-143 target in hPTN 3'-UTR. **Conclusion:** miR-143 suppressed the expression of hPTN by combining with target in hPTN 3'-UTR to accelerate the process of hMSCs adipogenesis.

**Key words:** miR-143; hPTN; Adipogenesis; hMSCs

**Chinese Library Classification (CLC):** Q254, Q291, R34 **Document code:** A

**Article ID:** 1673-6273(2011)18-3401-04

### 前言

microrna(miRNA)是一类内源性的长度约为 20~25 个核苷酸的小分子非编码单链 RNA,其调控机理为通过与靶基因 mRNA 的 3' 非翻译端(3'-UTR)碱基互补配对结合而特异性降解目的 mRNA 或抑制其翻译表达<sup>[1,2]</sup>。自 1993 年第一次发现 miRNA Lin-4 后<sup>[3]</sup>,miRNA 已被发现广泛存在于真核生物中,并在生物体发育、细胞分化、癌症发生、神经系统疾病、免疫生成等生理病理过程中发挥着重要的调控作用<sup>[4-8]</sup>。在成脂分化方面,已有研究证明 miR-14、miR-278、miR-27、miR-103、miR-17-92、miR-let-7 与之相关<sup>[9-14]</sup>,而 Esau C、Kang X 等人发现 miR-143 能通过抑制 ERK5 蛋白促进成脂分化<sup>[15]</sup>。

多效生长因子 pleiotrophin (PTN) 是一种 18kd 的肝素蛋白,在胚胎发育、神经分化、血管生成等方面具有重要作用<sup>[16-18]</sup>。

本 实 验 室 早 期 研 究 表 明 PTN 可 通 过 PTN/PI3K/

AKT/GSK-3β /β -catenin 信号通路抑制 3T3-L1 前脂肪细胞分化进程<sup>[19]</sup>。人骨髓间充质干细胞(hMSCs)是一种多潜能干细胞,可分化成脂肪细胞、造骨细胞及软骨细胞,是临床医学和基础生物学研究中的常用细胞系<sup>[20]</sup>。

本研究针对 PTN 对细胞成脂分化进程的作用,设计实验探讨 miR-143 可否通过调控 hPTN 的表达而影响成脂分化,从而在 miRNA 与成脂分化的关系方面发现一种新机制。

### 1 材料和方法

#### 1.1 细胞培养

hMSCs 购自 Cyagen Biosciences,培养基为含 10 %胎牛血清的 α-MEM 培养基,于 37 °C、5 % CO<sub>2</sub> 的恒温培养箱中培养,当细胞生长融合至 70-80 %,约 2~3 天时,用 0.25 %的胰酶消化传代。

cos-7 (非洲绿猴肾细胞) 购自昆明细胞库,培养基为含

\* 基金项目 国家自然科学基金项目(30871428)

作者简介 伊璞 (1985-),女,硕士,主要从事细胞成脂分化方向的研究,电话:13510938390,E-mail:yican.31@163.com

△通讯作者 张雅鸥,电话 0755-26036458,E-mail:yzhang.31@163.com

(收稿日期 2011-04-05 接受日期 2011-04-30)

10%胎牛血清的DMEM(HG)完全培养基,于37℃、5%CO<sub>2</sub>的恒温培养箱中培养,当细胞生长融合至70-80%约2~3天时,用0.25%的胰酶消化传代。

## 1.2 成脂分化诱导

将hMSCs以3×10<sup>4</sup>细胞/孔的密度种入24孔板中,当细胞生长融合至80%时更换成含10%FBS、1μM地塞米松(DXM)、1μg/ml胰岛素、0.5mM甲基异丁基黄嘌呤(Sigma, USA)的α-MEM成脂诱导培养基,每隔3天换一次液,持续诱导10天。

## 1.3 油红O染色和测定

吸除hMSCs板中的培养基,用1×PBS洗两遍,10%福尔马林固定细胞20分钟,吸除,1×PBS洗一遍。将异丙醇溶解的5mg/ml油红O用去离子水按7:3稀释,滤纸过滤后加入孔中(200μl/孔24孔板),室温染色1h,吸除染液,用1×PBS洗两遍,此时细胞脂滴会被染成红色,显微镜拍照。最后在孔中加入异丙醇,充分溶解脂滴中的油红O后取上清液于510nm处测OD值。

## 1.4 细胞转染

实验中所有微小RNA均由上海吉玛公司合成,设计siPTN(PTN-siRNA)序列,正义链为5'-GCCCAAACCU-CAAGCAGAAAdTdT-3',反义链为5'-UCUGCUUGAGGUU-UGGGC dTdT-3'。用Invitrogen公司的Lipofectamine 2000转染miRNA,24孔板每孔转染1μl miRNA,200ng质粒,细胞贴壁12h后转染,转染后6h换成成脂诱导培养基。

## 1.5 RT-PCR

细胞转染48h后吸除培养基,1×PBS洗两遍,用TRIZOL(Invitrogen USA)抽提RNA,抽提方法参照使用说明书。设计一对hPTN检测引物,上游引物5'-CACGGGAGGGCACT CG-GACT-3',下游引物5'-GTCTTCTGGCATTGGCATTG-3'。以GAPDH作为内参,上游引物5'-CGGATTTGGTCGTATTGGG-3',下游引物5'-CGGATTTGGTCGTATTGGG-3'。

## 1.6 Western blot

细胞转染48h后吸除培养基,1×PBS洗两遍,用含蛋白酶抑制剂的细胞裂解液收样,六孔板每孔加入200μl,冰置微摇30分钟,收集裂解液,离心去沉淀,蛋白相对定量,变性,做hPTN(Goat anti-PTN,R&D)的western blot,并以GAPDH(Rabbit anti-GAPDH,Proteintech Group)为内参。

## 1.7 prltk-PTN荧光报告质粒的构建

通过miRNA靶点预测软件FindTar分析,发现hPTN的3'-UTR上有miR-143的靶位点(944-970, NM\_002825)。根据靶位点位置设计一对引物,上游引物:5'-TAGTCTAGAAA GATGTCACCTGTGG-3',下游引物:5'-GCACTAGTCTTAC-CTCAATTGTCTATC-3',以hMSCs的cDNA为模板,特异性扩增靶位点处片段(270bp),胶回收后酶切,连接到单荧光报告载体pRL-TK中,然后转化到E.coli DH-5 $\alpha$ 感受态细胞中,涂板,挑单克隆,菌落PCR和测序鉴定。

## 1.8 prltk-m突变质粒的构建

设计一对突变引物,上游引物5'-AATTGTATATAAT-CAAGTACACAA-3',下游引物5'-TTTGAATACAAAGCC-TACG-3'。以构建好的prltk-PTN为模板,将hPTN上预测的miR-143靶位点seed区突变掉2个碱基(ATC-GTA),使用TaKaRa MutanBEST Kit试剂盒构建prltk-m突变质粒,测序鉴定。

## 1.9 荧光检测

质粒和miRNA共转48h后收样,使用Promega的Dual-Luciferase Reporter Assay System测定Renilla荧光值。

## 2 结果

### 2.1 hMSCs成脂诱导分化结果

已有文献报道在人前体脂肪细胞成脂分化过程中miR-143呈上升趋势并促进成脂分化<sup>[15]</sup>,且本实验室在早期研究中发现PTN抑制3T3-L1前脂肪细胞的成脂进程<sup>[19]</sup>,但在hMSCs中尚未有相关报道。为了研究miR-143和PTN是否对hMSCs有同样类似的效果,将NC、miR-143、siPTN、miR-143i转入已贴壁12h的hMSCs中,6h后换成成脂诱导培养基,持续诱导至第十天,细胞油红O染色后照相(图1)。

其中NC(negative control)是无靶位点的微小RNA,以之为阴性对照,可明显看出转染miR-143、siPTN的hMSCs中脂滴数量多、体积大、更成熟,成脂启动时间早,在诱导分化第六天即可看到脂滴;而未转染的空白细胞blank、NC是诱导分化第八天才看到脂滴出现,miR-143i(抑制miR-143的微小RNA)则是第九天出现脂滴,用异丙醇褪色后测得的油红O的OD值也与细胞图观察结果一致(图2)。该实验说明miR-143能够促进成脂分化,加速成脂进程,而抑制hPTN的表达也会对成脂过程起到促进作用。

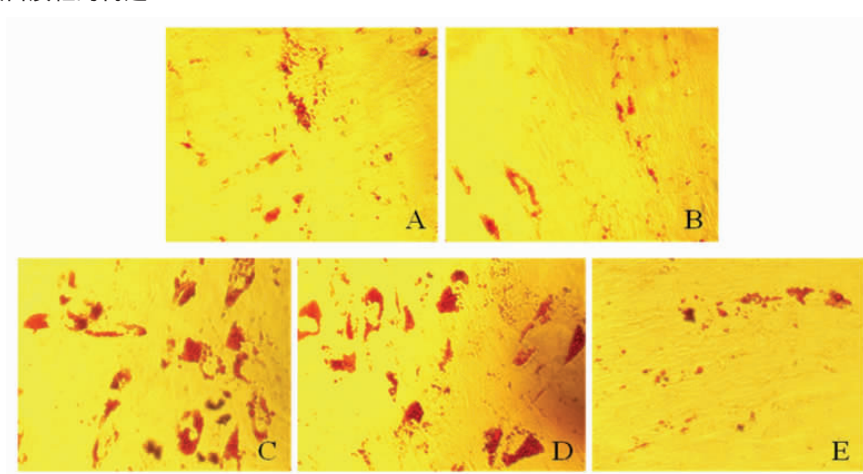


图1 hMSCs成脂诱导分化第十天(40×)

A blank, B NC, C miR-143, D siPTN, E miR-143i

Fig.1 Adipogenic differentiation of hMSCs after 10 days of induction(40×)

A blank, B NC, C miR-143, D siPTN, E miR-143i

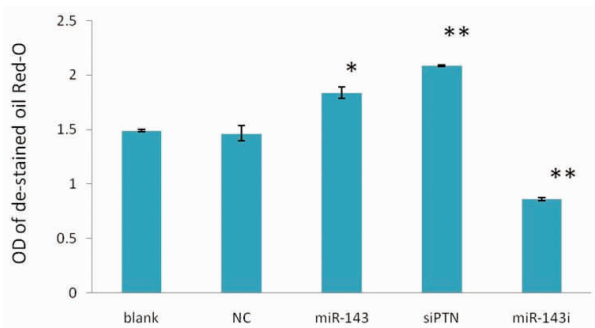


图 2 hMSCs 成脂分化第十天油红 O 染色的 OD 值(\*P< 0.05, \*\*P< 0.01)

Fig.2 OD of destained Oil-Red O of hMSCs after adipogenic induction on day 10 (\*P< 0.05, \*\*P< 0.01)

## 2.2 转染 miRNA 后 hPTN 在 mRNA 和蛋白水平上的表达

由细胞实验可知 miR-143 和 siPTN 在成脂分化方面有类似的作用，那么可能在 hPTN 的 3'-UTR 上有 miR-143 的靶位点，从而使 hPTN 的表达受到了 miR-143 的抑制。经 Findtar 靶点预测软件发现 hPTN 的 3'-UTR 上确实可能存在 miR-143 的靶位点。为了进一步研究 miR-143 与 hPTN 之间的关系，我们将 hMSCs 转染 miRNA 48 h 后收样，用 RT-PCR 和 western blot 分别检测 hPTN 的 mRNA 和蛋白表达量，并以 GAPDH 为内参。结果显示，与 NC 相比，转染了 miR-143 的 hMSCs 的 hPTN 表达量在 mRNA 水平(图 3A)和蛋白水平(图 3B)上均有显著下降。

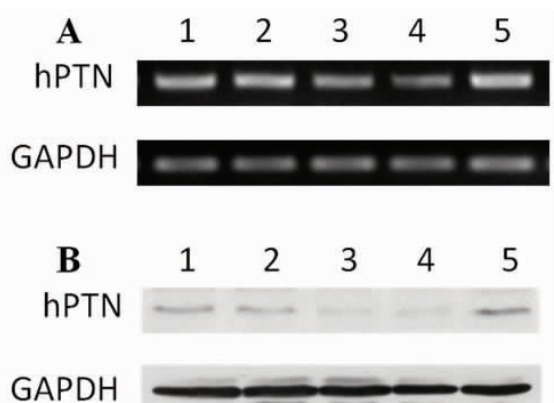


图 3 hPTN 在 miRNA 转染 48 h 后表达水平。1 blank 2 NC 3 miR-143 4 siPTN 5 miR-143i

(A)hPTN mRNA 表达水平 (B)hPTN 蛋白表达水平

Fig.3 Expression of hPTN after 48 h of miRNA transfection. 1 blank, 2 NC, 3 miR-143, 4 siPTN, 5 miR-143i

(A)mRNA expression level of hPTN (B)Protein expression level of hPTN

## 2.3 hPTN 3'-UTR 上 miR-143 靶位点验证

上述分子实验证明，miR-143 可对 hPTN 的表达起抑制作用，但不确定是否在 hPTN 的 3'-UTR 上有靶点，为了验证该点，首先构建了含有所预测靶位点片段的 prltk-PTN 荧光报告质粒，以及含有对应的靶点突变(ATC-GTA)的 prltk-m 突变质粒。然后将 prltk-PTN 质粒、prltk-m 质粒分别与 NC、miR-143、

miR-143i 悬浮共转入 cos-7 中( $8 \times 10^4$  cell/well, 24 孔板)，转染 48 h 后收样测 Renilla 荧光表达量。结果显示在转染 prltk-PTN 质粒组中，与 NC 相比，转染 miR-143 的荧光值明显降低，转染 miR-143i 的荧光值升高(图 4A)；而在 prltk-m 突变质粒组中，NC、miR-143、miR-143i 测得的荧光值基本持平(图 4B)。

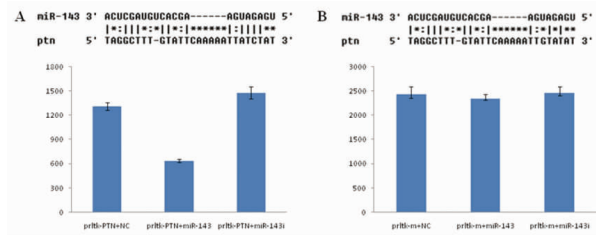


图 4 报告质粒荧光检测结果

(A)hPTN 3'-UTR 上 miR-143 预测靶位点，及 prltk-PTN 与 miRNA 共转荧光检测结果(\*\*P< 0.01)

(B)预测靶位点突变(ATC-GTA)，及 prltk-m 与 miRNA 共转荧光检测结果

Fig.4 Luciferase expression level of report plasmid

(A)miR-143 target predicted in hPTN 3'-UTR; fluorescence intensity of prltk-PTN cotransfected with miRNA (\*\*P< 0.01) (B)Mutation (ATC-GTA) in target predicted; fluorescence intensity of prltk-m cotransfected with miRNA

## 3 讨论

成脂分化是一个复杂的过程，涉及到多条信号通路和多种分子调控。近年来，在 miRNA 与成脂分化的关系方面，陆续发现果蝇中 miR-14 和 miR-278 与脂肪代谢相关<sup>[9, 10]</sup>，3T3-L1 细胞中过量表达 miR-27 抑制成脂<sup>[11]</sup>，miR-103 过量表达促进 3T3-L1 成脂<sup>[12]</sup>，miR-17-92 通过作用于肿瘤抑制因子 Rb2/p130 的 3'-UTR 区，抑制 3T3-L1 细胞增殖，促进成脂分化<sup>[13]</sup>；miR-let-7 通过作用于高速泳动蛋白 AT-hook2 (HMGA2) 促进脂肪生成<sup>[14]</sup>。由于一条微小 RNA 可以有多个靶基因，同一微小 RNA 也可能通过其他途径调节成脂分化过程。

之前已有 Esau C、Kang X 等学者证明 miR-143 能通过抑制 ERK5 促进成脂<sup>[15]</sup>。BMK1/ERK5 是 MAPK 家族成员，被激活后进入细胞核中，其 C 端的丝氨酸、苏氨酸被自身磷酸化后能在 N 端的共同作用下激活活化蛋白，刺激细胞生长。在前体脂肪细胞中，miR-143 抑制了 ERK5 的表达，从而使细胞生长被抑制，转向成脂分化。有研究证明 miR-143 在成脂诱导下其表达量增高<sup>[15]</sup>，而本实验室的早期研究发现成脂诱导后 PTN 的表达量迅速下降<sup>[19]</sup>，因此表明在调控成脂分化方面 miR-143 与 PTN 的作用可能是相反的。本研究中的细胞实验同样证明了这点，发现 miR-143 促进 hMSCs 成脂分化，而抑制 hPTN 的表达同样能加速成脂进程，从而说明 miR-143 可能通过抑制 hPTN 的表达促进成脂。经过 Findtar 软件预测，发现 hPTN 上可能存在 miR-143 的靶位点。分子实验证明，miR-143 不仅在 mRNA 水平上，同时也在蛋白水平上抑制了 hPTN 的表达。而靶位点的荧光验证实验证明，miR-143 确实在 hPTN 的 3'-UTR 上存在

靶位点,该靶位点突变后 miR-143 不再对荧光蛋白的表达起抑制作用。本实验室以前报道过 PTN 在融合状态的前脂肪细胞 3T3-L1 中大量表达,并通过 PTN/PI3K/AKT/GSK-3 $\beta$ /β-catenin 信号通路抑制成脂分化<sup>[19]</sup>。同样在 hMSCs 中,当 miR-143 抑制 hPTN 的表达后,可能通过该信号通路促使 β-catenin 磷酸化抑制了 hPTN 下游目的基因的表达,从而使细胞趋于稳定不再增殖而转向成脂分化。

上述研究结果表明,miR-143 可以通过与 hPTN 3'-UTR 上的靶位点相结合而特异性地抑制 hPTN 的表达,从而促进了 hMSCs 的成脂分化进程。本研究成果进一步揭示了 miRNA 的成脂分化调控机理,为成脂分化的研究提供了相关的实验素材,同时对肥胖等脂肪代谢相关疾病的治疗也具有一定的指导意义。

### 参考文献(References)

- [1] Eulalio A, Rehwinkel J, Stricker M, et al. Target-specific requirements for enhancers of decapping in miRNA-mediated gene silencing [J]. Genes Dev, 2007, 21(20): 2558-2570
- [2] Petersen CP, Bordeleau ME, Pelletier J, et al. Short RNAs repress translation after initiation in mammalian cells [J]. Mol Cell, 2006, 21(4): 533-542
- [3] Lee RC, Feinbaum RL, Ambros V. The *C. elegans* heterochronic gene lin-4 encodes small RNAs with antisense complementarity to lin-14 [J]. Cell, 1993, 75(5): 843-854
- [4] Nakahara K, Carthew RW. Expanding roles for miRNAs and siRNAs in cell regulation [J]. Curr Opin Cell Biol, 2004, 16(2): 127-133
- [5] Cheng, AM, Byrom MW, Shelton J, et al. Antisense inhibition of human miRNAs and indications for an involvement of miRNA in cell growth and apoptosis [J]. Nucleic Acids Res, 2005, 33(4): 1290-1297
- [6] Calin GA, Sevignani C, Dumitru CD, et al. Human microRNA genes are frequently located at fragile sites and genomic regions involved in cancers [J]. Proc Natl Acad Sci, 2004, 101(9): 2999-3004
- [7] Abu-Elneel K, Liu T, Gazzaniga FS. Heterogeneous dysregulation of microRNAs across the autism spectrum [J]. Neurogenetics, 2008, 9(3): 153-161
- [8] Chen CZ, Li L, Lodish HF, et al. MicroRNAs modulate hematopoietic lineage differentiation [J]. Science, 2004, 303(5654): 83-86
- [9] Xu P, Vernooy SY, Guo M, et al. The Drosophila microRNA Mir-14 suppresses cell death and is required for normal fat metabolism [J]. Curr Biol, 2003, 13(9): 790-795
- [10] Teleman AA, Maitra SN, Cohen SM. Drosophila lacking microRNA miR-278 are defective in energy homeostasis [J]. Genes Dev, 2006, 20(4): 417-422
- [11] Lin Q, Gao Z, Alarcon RM, et al. A role of miR-27 in the regulation of adipogenesis [J]. FEBS Jour, 2009, 276(8): 2348-2358
- [12] Xie H, Lim B, Lodish HF. MicroRNAs induced during adipogenesis that accelerate fat cell development is downregulated in obesity [J]. Diabetes, 2009, 58(5): 1050-1057
- [13] Wang Q, Li YC, Wang J, et al. MiR-17-92 cluster accelerates adipocyte differentiation by negatively regulating tumor-suppressor Rb2/p130 [J]. Prol Nat Acad Sci, 2008, 105(8): 2889-2894
- [14] Sun T, Fu M, Bookout AL, et al. MicroRNA let-7 regulates 3T3-L1 adipogenesis [J]. Molecular Endocrinology, 2009, 23(6): 925-931
- [15] Esau C, Kang X, Peralta E, et al. MicroRNA-143 regulates adipocyte differentiation [J]. J Biol Chem. 2004, 279(50): 52361-52365
- [16] Zhang N, Zhong R, Deuel TF. Domain structure of pleiotrophin required for transformation [J]. J Biol Chem, 1999, 274 (19): 12959-12962
- [17] Perez-Pinera P, Chang Y, Deuel TF. Pleiotrophin, a multifunctional tumor promoter through induction of tumor angiogenesis, remodeling of the tumor microenvironment, and activation of stromal fibroblasts [J]. Cell Cycle, 2007, 6(23): 2877-2883
- [18] Perez-Pinera P, Berenson JR, Deuel TF. Pleiotrophin, a multifunctional angiogenic factor: mechanisms and pathways in normal and pathological angiogenesis [J]. Curr Opin Hematol, 2008, 15 (3): 210-214
- [19] Gu D, Yu B, Zhao C, et al. The effect of pleiotrophin signaling on adipogenesis [J]. FEBS Lett., 2007, 581(3): 382-388
- [20] Meirelles Lda S, Nardi NB. Methodology, biology and clinical applications of mesenchymal stem cells [J]. Front Biosci, 2009, 14: 4281-4298